



Università "Cardinale Giovanni Colombo" - Milano

A.A. 2024 - 2025

Corso di Astrofisica

Docente: **Adriano Gaspani**

Lezione 15

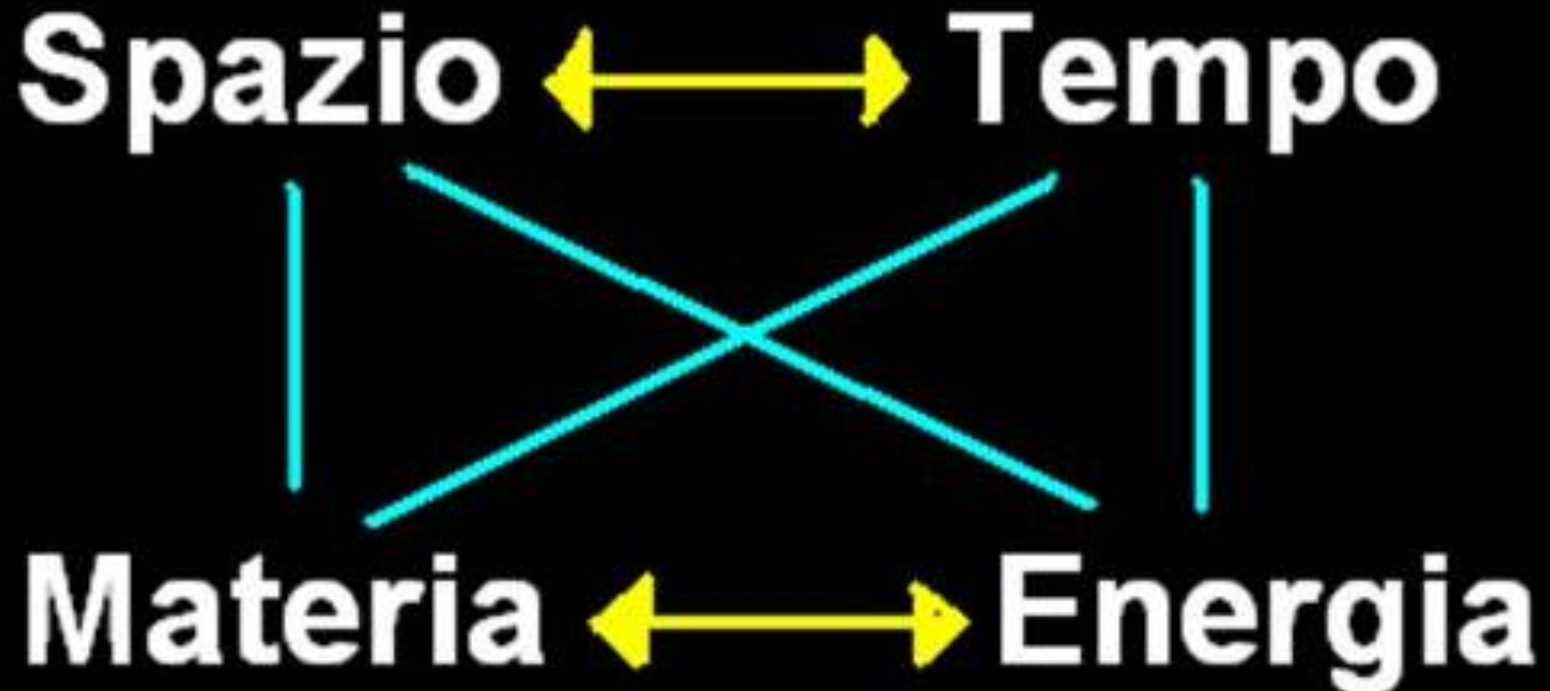
I modelli cosmologici di
Friedmann-Robertson-Walker

A close-up, slightly low-angle shot of Yoda's face. He has a serious, somewhat weary expression, with his eyes looking slightly to the right. The lighting is dramatic, highlighting the texture of his green, wrinkled skin. The background is dark and out of focus.

**Spazio
Tempo
Materia
Energia**

4 diversi aspetti della stessa cosa...

Esiste quindi una corrispondenza
incrociata tra tutti...



sono legati indissolubilmente...

Unità di Planck

Unità di Planck: unità fondamentali

Dimensione	Formula	Valore nel Sistema Internazionale
Lunghezza di Planck	Lunghezza (L) $l_p = \sqrt{\frac{\hbar G}{c^3}}$	$1,616\ 252(81) \times 10^{-35}$ m
Massa di Planck	Massa (M) $m_p = \sqrt{\frac{\hbar c}{G}}$	$2,176\ 44(11) \times 10^{-8}$ kg
Tempo di Planck	Tempo (T) $t_p = \frac{l_p}{c} = \sqrt{\frac{\hbar G}{c^5}}$	$5,391\ 24(27) \times 10^{-44}$ s
Temperatura di Planck	Temperatura (Θ) $T_p = \frac{m_p c^2}{k_B} = \sqrt{\frac{\hbar c^5}{G k_B^2}}$	$1,416\ 785(71) \times 10^{32}$ K
Carica di Planck	Carica elettrica (Q) $q_p = \sqrt{4\pi\epsilon_0 \hbar c}$	$1,875\ 545\ 870 \times 10^{-18}$ C

Le tre costanti della fisica sono espresse in questo modo semplicemente, mediante l'uso delle unità fondamentali di Planck:

$$c = \frac{l_p}{t_p}$$

$$\hbar = \frac{m_p l_p^2}{t_p}$$

$$G = \frac{l_p^3}{m_p t_p^2}$$

Di cosa è fatto l'UNIVERSO?

...per lo meno il nostro

energia
oscura
73%



materia
ord.
4%

materia
oscura
23%

tutta questa massa
e energia codifica
informazione

Uno degli scenari a cui la Teoria della Relatività di Einstein ha portato a guardare con nuovi occhi è il nostro stesso universo.

- Quale soluzione dell'equazione di Einstein descrive al meglio l'universo in cui viviamo?



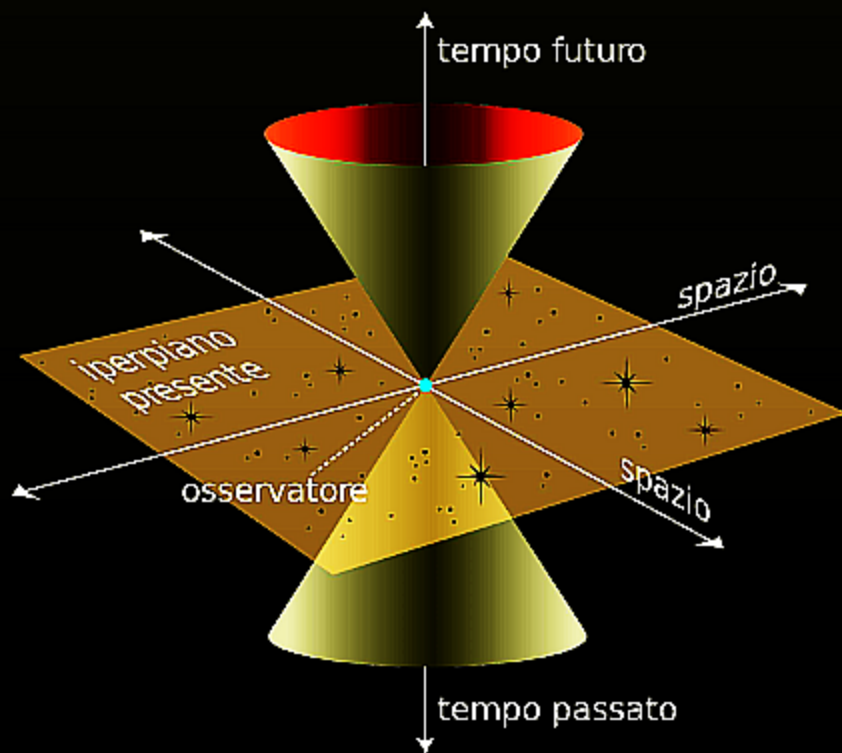
Figura: Alexandre Friedmann

- Friedmann, nel 1922, trovò per primo le appropriate soluzioni cosmologiche dell'equazione di Einstein.
- I modelli cosmologici della classe generale studiata da Friedmann sono comunemente chiamati modelli di Friedmann-Lemaitre-Robertson-Walker (FLRW)



- Struttura dell'universo così come predetta dalla Relatività Generale
- Previsioni dinamiche dell'equazione di Einstein
- Curvatura dello spaziotempo
- Big Bang

—→ *Principio Cosmologico*



- Cosmologia: dati osservati e assunzioni teoriche
- Rivoluzione Copernicana: la Terra non occupa posizione privilegiata
- Grandezza universo tale da poter affermare che le osservazioni non dipendano dalla direzione in cui si guarda

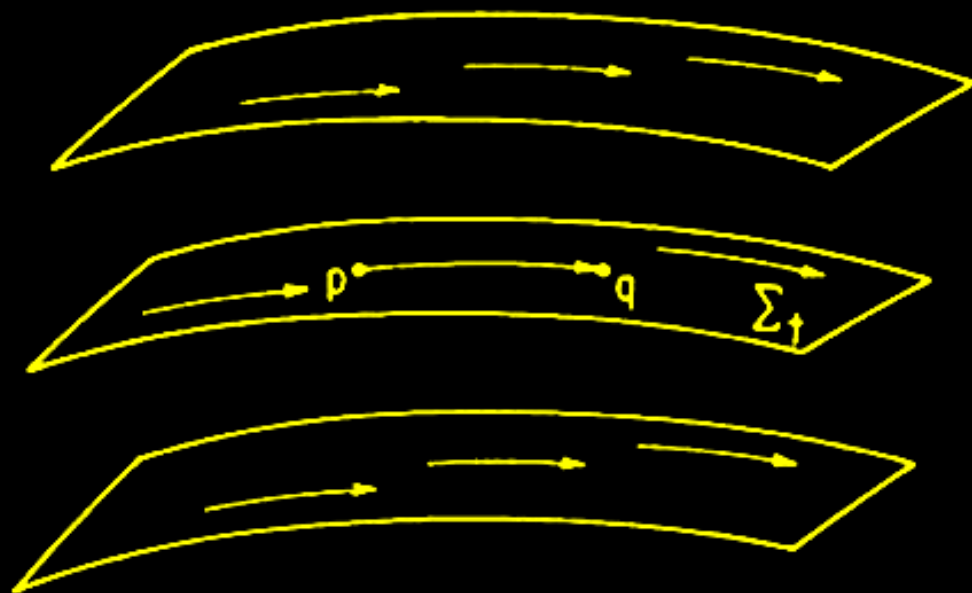
Questi concetti si traducono con i termini *omogeneità* ed *isotropia*

- L'omogeneità afferma che *ogni punto dello spazio ad un qualsiasi istante di tempo dato appare come qualsiasi altro punto*
- l'isotropia, afferma che *in ogni punto, ogni osservatore può vedere l'universo come isotropo*

Più dettagliatamente:

Omogeneità

Uno spaziotempo si dice (spazialmente) **omogeneo** se esiste una famiglia ad un parametro di ipersuperfici Σ_t di *genere spazio* che ricoprono lo spaziotempo in modo che per ogni t e per ogni due punti dati $p, q \in \Sigma_t$, deve esistere un'isometria della metrica dello spaziotempo, g_{ab} , che porta p in q .



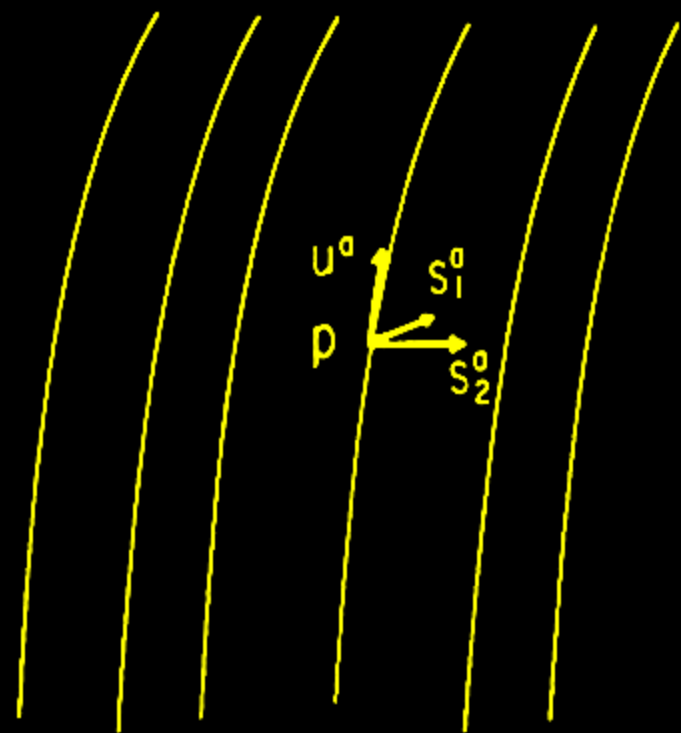
Le ipersuperfici di omogeneità spaziale nello spaziotempo.

Più dettagliatamente:

Isotropia

Uno spaziotempo si dice (spazialmente) **isotropo** in ogni punto, se esiste una corrispondenza di curve di *genere tempo* (i.e. osservatori), le cui tangenti sono denotate con u^a , che ricoprono lo spaziotempo e soddisfano la seguente proprietà: dato un qualsiasi punto p e due qualsiasi vettori tangenti $s_1^a, s_2^a \in V_p$ (i.e. vettori in p ortogonali a u^a), allora esiste un'isometria di g_{ab} che lascia p e u^a a p fissato, ma ruota s_1^a in s_2^a .

Dunque, in un universo isotropo non è possibile costruire un vettore tangente ortogonale ad u^a privilegiato.



Le linee d'orizzonte di osservatori isotropi nello spaziotempo.

La geometria spaziale indotta delle superfici Σ_t è soggetta alle seguenti **restrizioni**:

- Per l'*omogeneità*, devono esistere isometrie di h_{ab} che portano un qualsiasi $p \in \Sigma_t$ in un qualsiasi $q \in \Sigma_t$;
- Per l'*isotropia*, deve essere impossibile costruire vettori privilegiati su Σ_t .

→ *Curvatura*

La seconda condizione, in particolare, è molto forte.
Consideriamo il tensore di Riemann R_{abc}^d costruito da h_{ab} su Σ_t .
Se alziamo il terzo indice con h^{ab} , possiamo vedere R_{ab}^{cd} in p
come una mappa lineare, L , del vettore spazio W di 2-forme
(i.e. di tensori antisimmetrici di rango $(0, 2)$), in se stesso:

$$L : W \longrightarrow W$$

L è simmetrica (i.e. è una mappa autoaggiunta con prodotto interno su W definito positivo determinato da h_{ab}).
 W ha una base ortonormale di autovettori di L .

Per non violare l'ipotesi di isotropia, tutti gli autovalori di L devono essere uguali. Ciò significa che L è un multiplo dell'operatore identità

$$L = KI$$

cioè

$$R_{ab}{}^{cd} = K \delta^c_{[a} \delta^d_{b]}$$

Abbassando gli indici, abbiamo

$$R_{abcd} = K h_{c[a} h_{b]d}$$

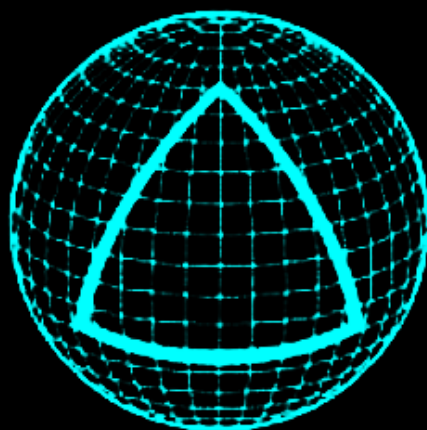
Per provare il fatto che K sia costante, così come implicano omogeneità ed isotropia, andiamo a sostituire $R_{abcd} = Kh_{c[a}h_{b]d}$ nell'identità di Bianchi $\nabla_{[a}R_{bc]d}{}^e = 0$ e otteniamo:

$$0 = \nabla_{[e}R_{ab]cd} = (\nabla_{[e}K)h_{|c|a}h_{b]d}$$

Su una varietà di dimensione maggiore o uguale a 3, il lato destro dell'equazione si annulla per $\nabla_e K = 0$, che implica K costante.

Uno spazio in cui è soddisfatta l'equazione precedente, con K costante, è chiamato **spazio a curvatura costante**.

Completiamo l'obiettivo di determinare le possibili geometrie di Σ_t andando a studiare gli spazi a curvatura costante rispetto ai possibili valori di K .



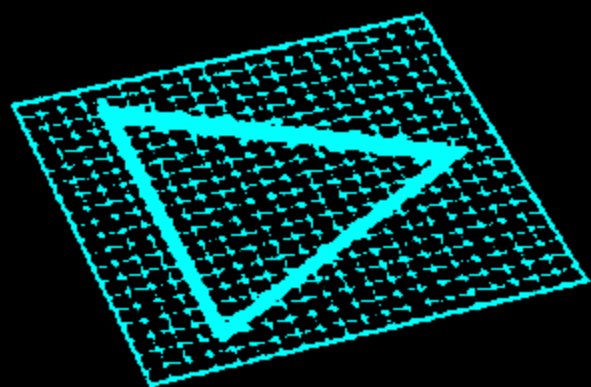
Positive Curvature

Per $K > 0$ abbiamo le 3-sfere come superfici in spazio \mathbb{R}^4 , le cui coordinate soddisfano l'equazione:

$$x^2 + y^2 + z^2 + w^2 = R^2$$

Possiamo scrivere la metrica della 3-sfera in coordinate sferiche come:

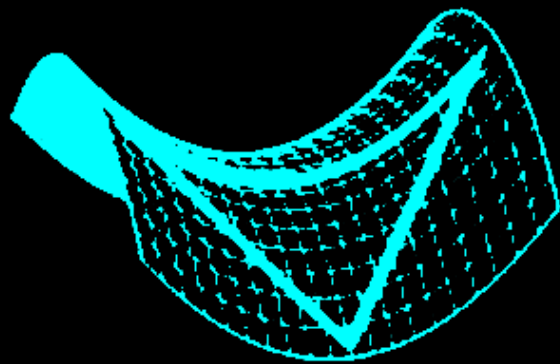
$$ds^2 = d\psi^2 + \sin^2 \psi (d\theta^2 + \sin^2 \theta d\phi^2).$$



Flat Curvature

Per $K = 0$ abbiamo l'usuale spazio euclideo, le cui coordinate sono quelle cartesiane e la metrica:

$$ds^2 = dx^2 + dy^2 + dz^2.$$



Negative Curvature

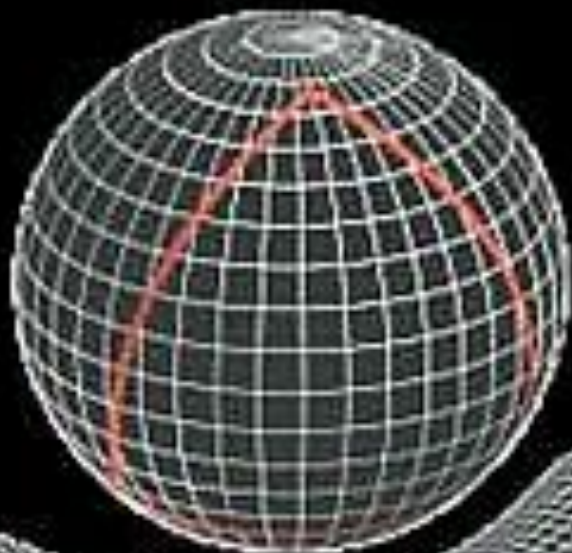
Per $K < 0$ abbiamo gli iperboloidi come superfici in spazio \mathbb{R}^4 , le cui coordinate soddisfano l'equazione:

$$t^2 - x^2 - y^2 - z^2 = R^2$$

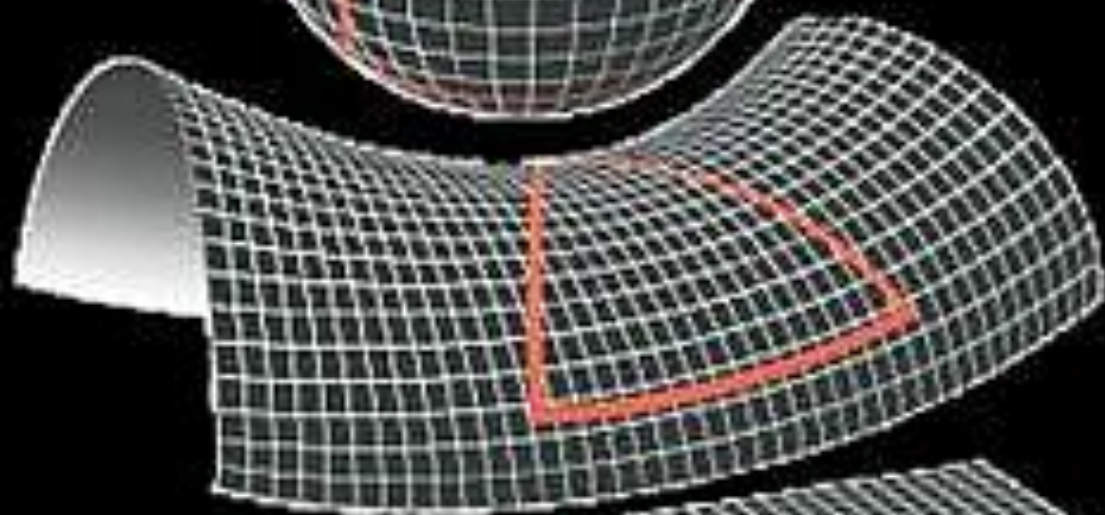
In coordinate iperboliche, la metrica è:

$$ds^2 = d\psi^2 + \sinh^2 \psi (d\theta^2 + \sin^2 \theta d\phi^2)$$

→ *Universo chiuso, universo aperto*



$$k = +1$$



$$k = -1$$



$$k = 0$$

La forma dell'Universo?

Sotto la restrittiva condizione di universo **omogeneo ed isotropo**, la struttura della relatività generale ammette due altre possibilità distinte, oltre a quelle di una struttura **piatta**, ossia quella sferica ed iperbolica.

L'ipotesi di una geometria sferica è particolarmente interessante in quanto **varietà compatta** che quindi descriverebbe un universo che è finito ma senza confini.

Un tale universo è detto **chiuso**, mentre un universo governato da una geometria iperbolica è detto **aperto**.

L'interessante domanda a cui ha portato la teoria di Einstein è proprio questa: *il nostro universo è chiuso o aperto?*

Andiamo a esprimere la metrica quadridimensionale dello spaziotempo g_{ab} come:

$$g_{ab} = -u_a u_b + h_{ab}(t)$$

A questo punto, possiamo associare ad ogni ipersuperficie il suo **tempo proprio**, τ .

τ , insieme alle coordinate spaziali, identifica ogni evento dell'universo.

In queste coordinate, la metrica dello spazio tempo prende la forma:

$$ds^2 = -d\tau^2 + a^2(\tau) \begin{cases} d\psi^2 + \sin^2 \psi (d\theta^2 + \sin^2 \theta d\phi^2) \\ dx^2 + dy^2 + dz^2 \\ d\psi^2 + \sinh^2 \psi (d\theta^2 + \sin^2 \theta d\phi^2) \end{cases}$$

Queste equazioni rappresentano la forma generale della metrica, chiamata **modello cosmologico Friedmann-Lemaitre-Robertson-Walker**.

Per determinare la geometria spaziale e la funzione $a(\tau)$, occorre studiare l'equazione di Einstein:

$$G_{ab} \equiv R_{ab} - \frac{1}{2}Rg_{ab} = 8\pi T_{ab}$$

- G_{ab} è chiamato tensore di Einstein
- R_{ab} , tensore di curvatura di Ricci
- R , la curvatura scalare, traccia di R_{ab}
- g_{ab} , il tensore metrico
- T_{ab} , il tensore energia-impulso
- $c = 1$

Il nostro obiettivo è ora quello di sostituire la metrica ottenuta in precedenza nell'equazione di Einstein per ottenere previsioni circa l'evoluzione dinamica dell'universo.

Il primo passaggio è quello di descrivere la materia in esso contenuta in termini del suo tensore *energia-impulso*, T_{ab} , che compare nel lato destro dell'equazione

Con buona approssimazione, il tensore energia-impulso della materia nell'universo attuale prende la forma:

$$T_{ab} = \rho u_a u_b + P(g_{ab} + u_a u_b).$$

Andiamo a calcolare G_{ab} dalla metrica confrontandola con $8\pi T_{ab}$. **A priori**, avremo 10 equazioni corrispondenti alle 10 componenti indipendenti di un tensore simmetrico a due indici.

Ma le uniche componenti indipendenti dell'equazione di Einstein risultano essere soltanto:

$$G_{\tau\tau} = 8\pi T_{\tau\tau} = 8\pi\rho$$

$$G_{**} = 8\pi T_{**} = 8\pi P$$

dove:

- $G_{\tau\tau} = G_{ab}u^a u^b$;
- $G_{**} = G_{ab}s^a s^b$;
- s^a è un qualsiasi vettore unitario tangente alle ipersuperfici omogenee.

Dobbiamo ora calcolare $G_{\tau\tau}$ e G_{**} in termini di $a(\tau)$.

Lo facciamo esplicitamente per il caso della geometria piana, cioè:

$$ds^2 = -d\tau^2 + a^2(\tau)(dx^2 + dy^2 + dz^2).$$

Definendo i simboli di Christoffel come

$\Gamma_{ij}^k = \frac{1}{2}g^{hk} \left(\frac{\delta g_{ih}}{x^j} + \frac{\delta g_{jh}}{x^i} - \frac{\delta g_{ij}}{x^h} \right)$, osserviamo che le componenti che non svaniscono sono:

$$\Gamma_{xx}^\tau = \Gamma_{yy}^\tau = \Gamma_{zz}^\tau = a\dot{a}$$
$$\Gamma_{x\tau}^x = \Gamma_{\tau x}^x = \Gamma_{y\tau}^y = \Gamma_{\tau y}^y = \Gamma_{z\tau}^z = \Gamma_{\tau z}^z = \frac{\dot{a}}{a}$$

Quindi, le componenti indipendenti del tensore di Ricci, $R_{ab} = R_{acb}{}^c$, sono:

$$R_{\tau\tau} = -3\frac{\ddot{a}}{a}$$
$$R_{**} = a^{-2}R_{xx} = \frac{\ddot{a}}{a} + 2\frac{\dot{a}^2}{a^2}$$

Avendo poi

$$R = -R_{\tau\tau} + 3R_{**} = 6\left(\frac{\ddot{a}}{a} + \frac{\dot{a}^2}{a^2}\right)$$

otteniamo

$$G_{\tau\tau} = R_{\tau\tau} + \frac{1}{2}R = 3\frac{\dot{a}^2}{a^2} = 8\pi\rho$$
$$G_{**} = R_{**} - \frac{1}{2}R = -2\frac{\ddot{a}}{a} - \frac{\dot{a}^2}{a^2} = 8\pi P$$

e possiamo riscrivere la seconda equazione sfruttando la prima:

$$3\frac{\ddot{a}}{a} = -4\pi(\rho + 3P)$$

Eseguendo gli stessi calcoli per i casi della geometria sferica ed iperbolica, otteniamo le equazioni generali per l'evoluzione cosmologica omogenea ed isotropa:

$$3\frac{\dot{a}^2}{a^2} = 8\pi\rho - \frac{3k}{a^2}$$
$$3\frac{\ddot{a}}{a} = -4\pi(\rho + 3P)$$

dove per $k = +1$ si ha la sfera tridimensionale, per $k = 0$ lo spazio piatto, per $k = -1$ l'iperboloide.

La scala di distanza fra tutti gli osservatori isotropi cambia con il tempo, ma non c'è alcun centro privilegiato di espansione o contrazione.

Quindi, se la distanza, misurata sulla superficie omogenea, tra due osservatori isotropi al tempo τ è R , il tasso di variazione di R è

$$v = \frac{dR}{d\tau} = \frac{R}{a} \frac{da}{d\tau} = H R$$

dove $H(\tau) = \dot{a}/a$ è chiamata **costante di Hubble** ed il suo valore varia col tempo. L'equazione precedente è chiamata **Legge di Hubble**.

Einstein, non contento che la sua teoria prevedesse un universo in evoluzione, introdusse una nuova costante fondamentale, quella *cosmologica*, in modo che la sua equazione potesse tornare a prevedere **soluzioni statiche**.

$$G_{ab} + \Lambda g_{ab} = 8\pi T_{ab}$$

Assumeremo nel seguito $\Lambda = 0$.

→ *Big Bang*

Ricordiamo che $\ddot{a} < 0$ e supponiamo che l'universo sia in espansione, ossia $\dot{a} > 0$.

Sotto l'assunzione del principio cosmologico, la relatività generale prevede che ad un tempo minore di $H^{-1} = a\dot{a} \simeq 4.35 \cdot 10^{17} s$, detto **Tempo di Hubble** l'universo era in uno *stato singolare*.

- la distanza fra *tutti i punti dello spazio* era **nulla**;
- la densità di materia e la curvatura dello spaziotempo erano **infinite**

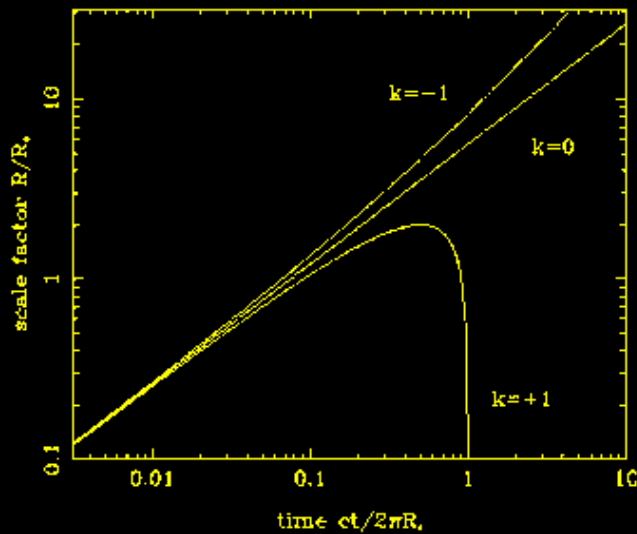


Questo stato di **singolarità**
prende il nome di **Big Bang**.

—→ *Evoluzione dell'universo*

Osserviamo che:

- Se $k = 0$ o $k = -1$, \dot{a} non può mai diventare nulla. Allora, se l'universo si sta espandendo, dovrà continuare a farlo per sempre.
 - se $k = 0$, la velocità di espansione \dot{a} tende asintoticamente a zero quando $\tau \rightarrow \infty$
 - se invece $k = -1$ abbiamo $\dot{a} \rightarrow 1$ quando $\tau \rightarrow \infty$.
- se $k = +1$, l'universo non può espandersi per sempre:
 - l'universo, in un tempo finito dopo il Big Bang, raggiungerà una dimensione massima per poi tornare a contrarsi.
 - per gli stessi motivi, dopo aver iniziato la contrazione, in un tempo finito arriverà ad un Big Crunch.



Andiamo ora a risolvere le equazioni generali per il caso di materia e radiazione. Il metodo più efficiente per farlo è di eliminare il termine ρ .
 Otteniamo,

$$\dot{a}^2 - C/a + k = 0, \quad \text{con}$$

$$\begin{cases} C = 8\pi\rho a^3/3, & \text{per la materia} \\ C = C' = 8\pi\rho a^4/3, & \text{per la radiazione} \end{cases}$$

→ *Conclusioni*

Tutte le considerazioni fatte finora, portano al seguente quadro dell'evoluzione dell'universo.

Esso nacque come una caldissima ($T \longrightarrow \infty$), densa ($\rho \longrightarrow \infty$) zuppa di materia e radiazione in equilibrio termico. Tuttavia, con il suo evolversi, questo equilibrio non è stato mantenuto. Inizialmente, l'energia contenuta nell'universo primordiale era dominata dalla radiazione; tuttavia, dal momento in cui $a(\tau)$ raggiunse circa la millesima parte del suo presente valore, il contributo della materia ordinaria dominò l'energia contenuta nell'universo, e la sua dinamica divenne quella di un modello di materia Friedmann-Lemaitre-Robertson-Walker.

Equazioni di Friedmann

$$\dot{R} = \left[R^2 \frac{8\pi G\rho + \Lambda c^2}{3} - kc^2 \right]^{\frac{1}{2}}$$

$$\ddot{R} = -\frac{4\pi G}{3} \left(\rho + \frac{3p}{c^2} \right) R + \frac{\Lambda c^2}{3} R$$



Aleksandr Aleksandrovič Friedmann
(San Pietroburgo, 6 giugno 1888 –
Pietrogrado, 16 settembre 1925)

R = Raggio dell'Universo (fattore di scala)

\dot{R} = Velocità di espansione

\ddot{R} = Accelerazione dell'espansione

ρ = Densità media della materia

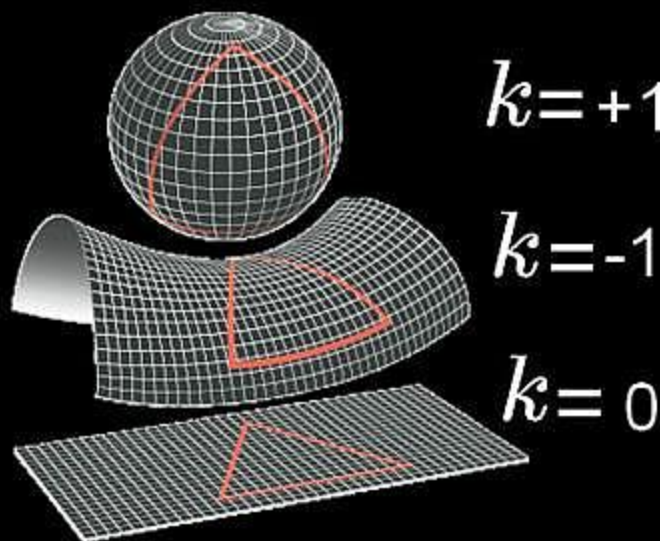
p = Pressione

c = Velocità della luce

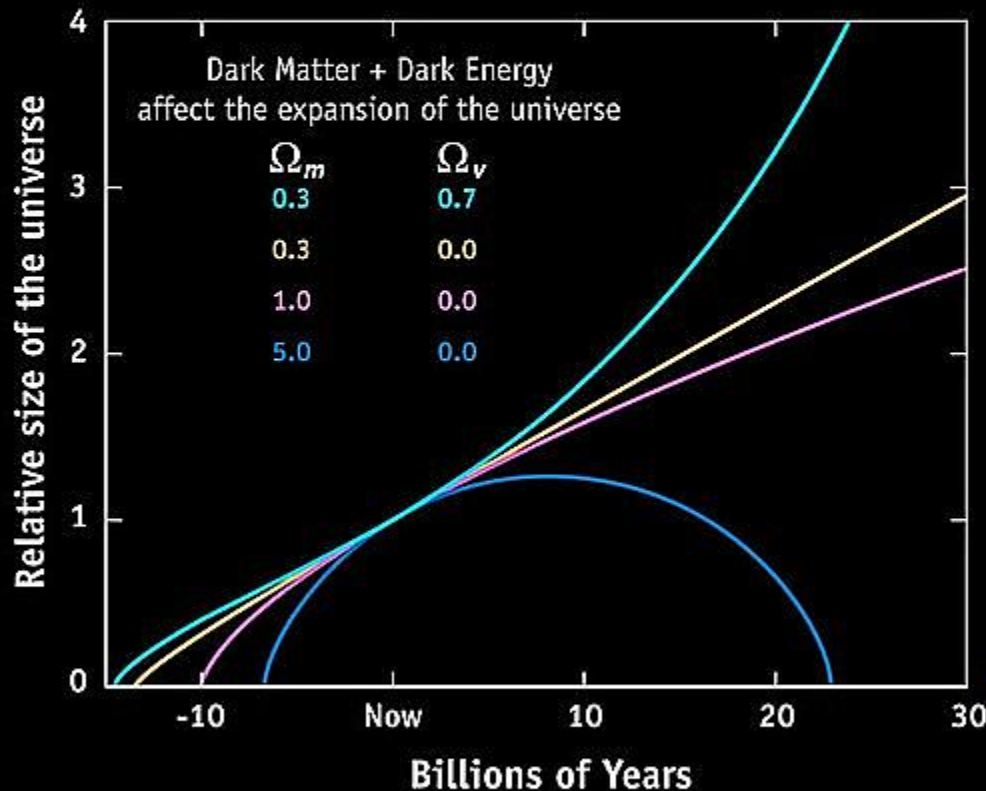
G = Costante di Gravitazione Universale

Λ = Costante cosmologica

k = Parametro di curvatura



EXPANSION OF THE UNIVERSE

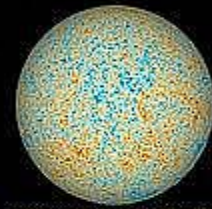


IN UN UNIVERSO COMPLETAMENTE
DOMINATO DALLA MATERIA
L'ESPANSIONE E'
REGOLATA DAL RAPPORTO
TRA LA DENSITA' CRITICA (ρ_c)
E LA DENSITA' OSSERVATA (ρ)

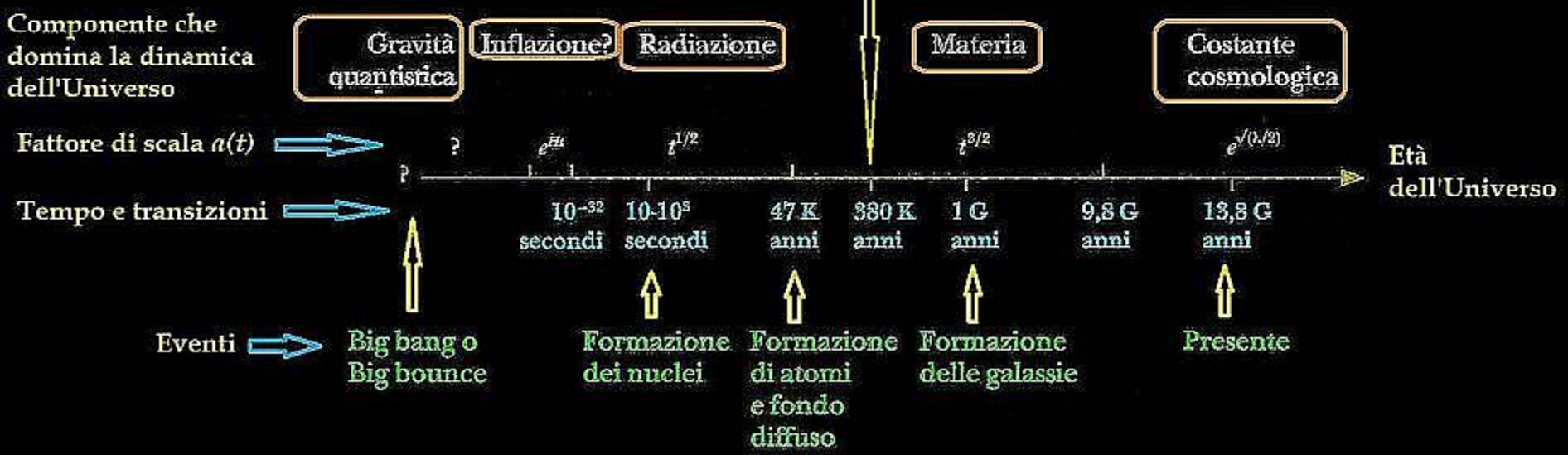
$$\Omega = \rho / \rho_c$$

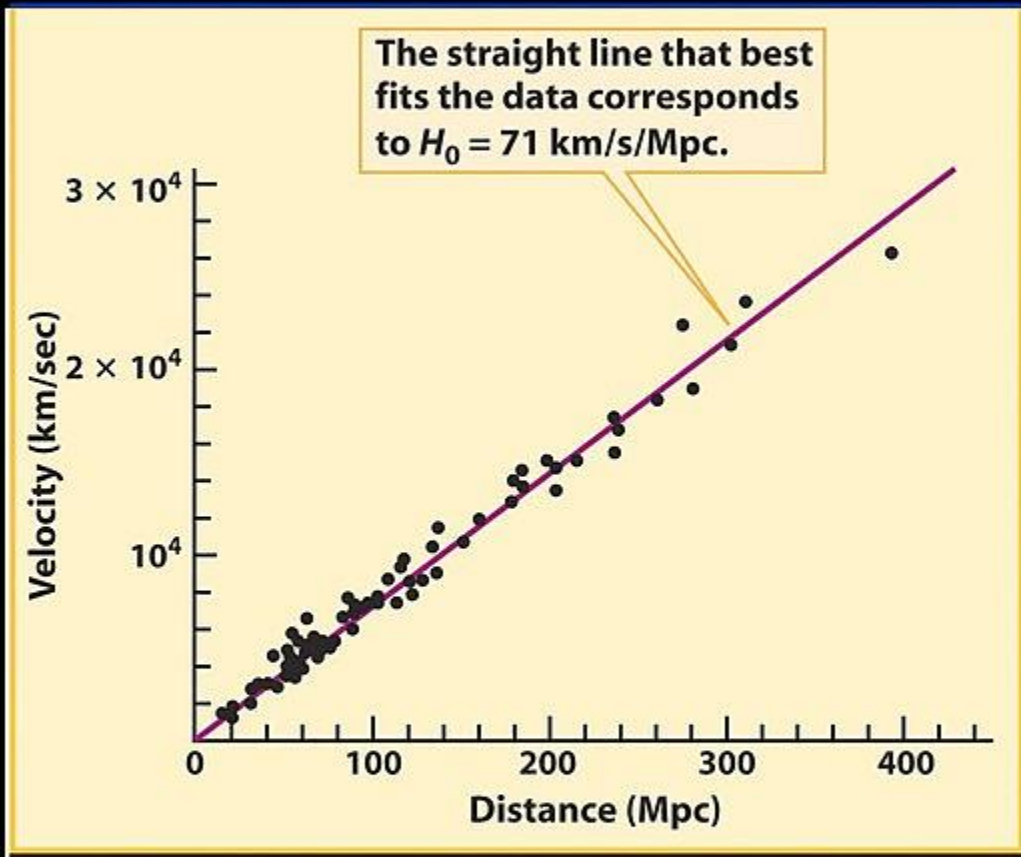
RECENTI OSSERVAZIONI
SEMBRANO CONFERMARE CHE
CIRCA IL 70% DELL'UNIVERSO SIA
COSTITUITO DA UNA STRANA FORMA
DI ENERGIA CHE NE ACCELERA
L'ESPANSIONE

Evoluzione dell'Universo:



CMB (Cosmic Microwave Background) anisotropia termica





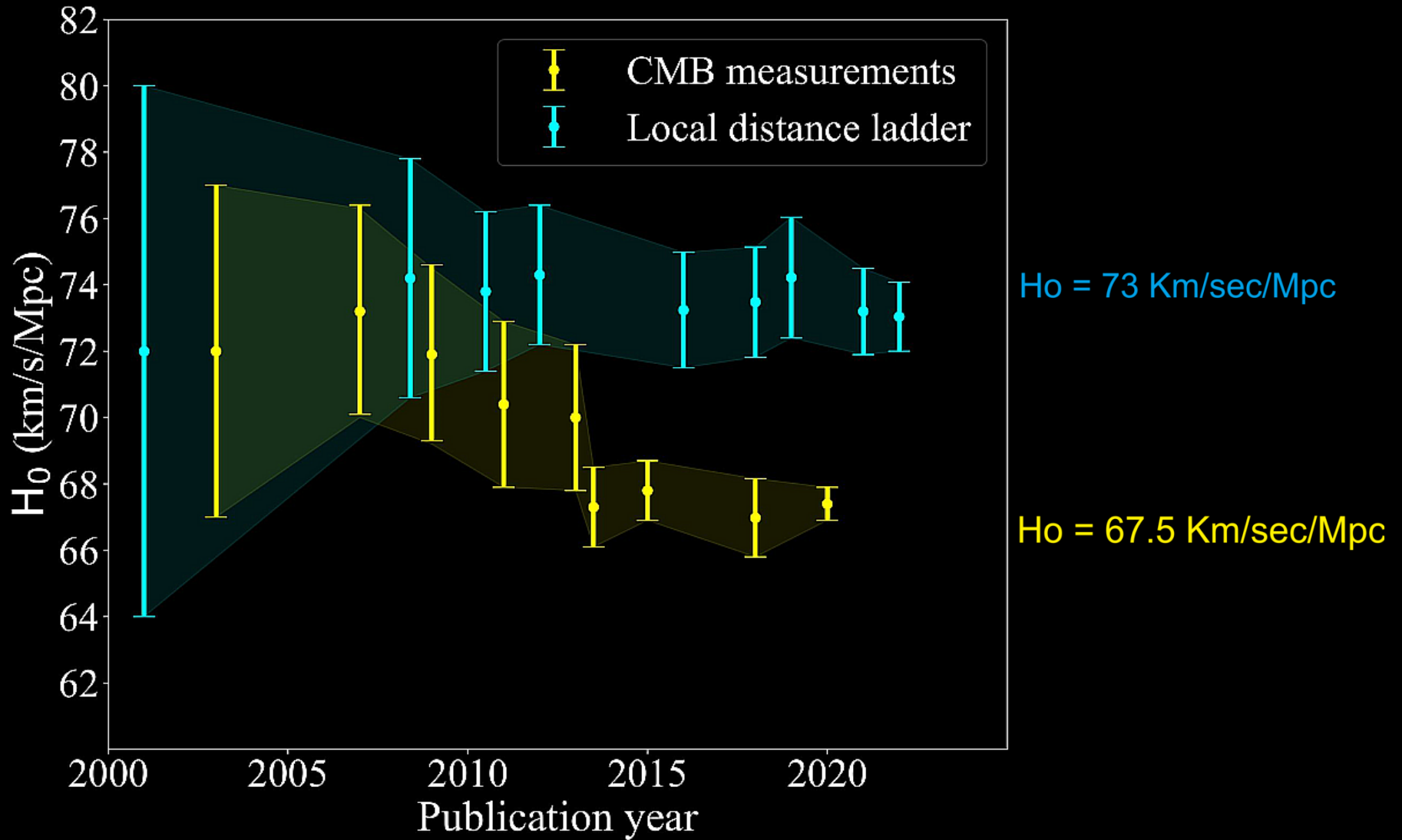
**NEL 1929 EDWIN HUBBLE
SCOPRE L'ESISTENZA DI UNA
RELAZIONE LINEARE TRA
IL REDSHIFT E LA DISTANZA
DELLE GALASSIE.**

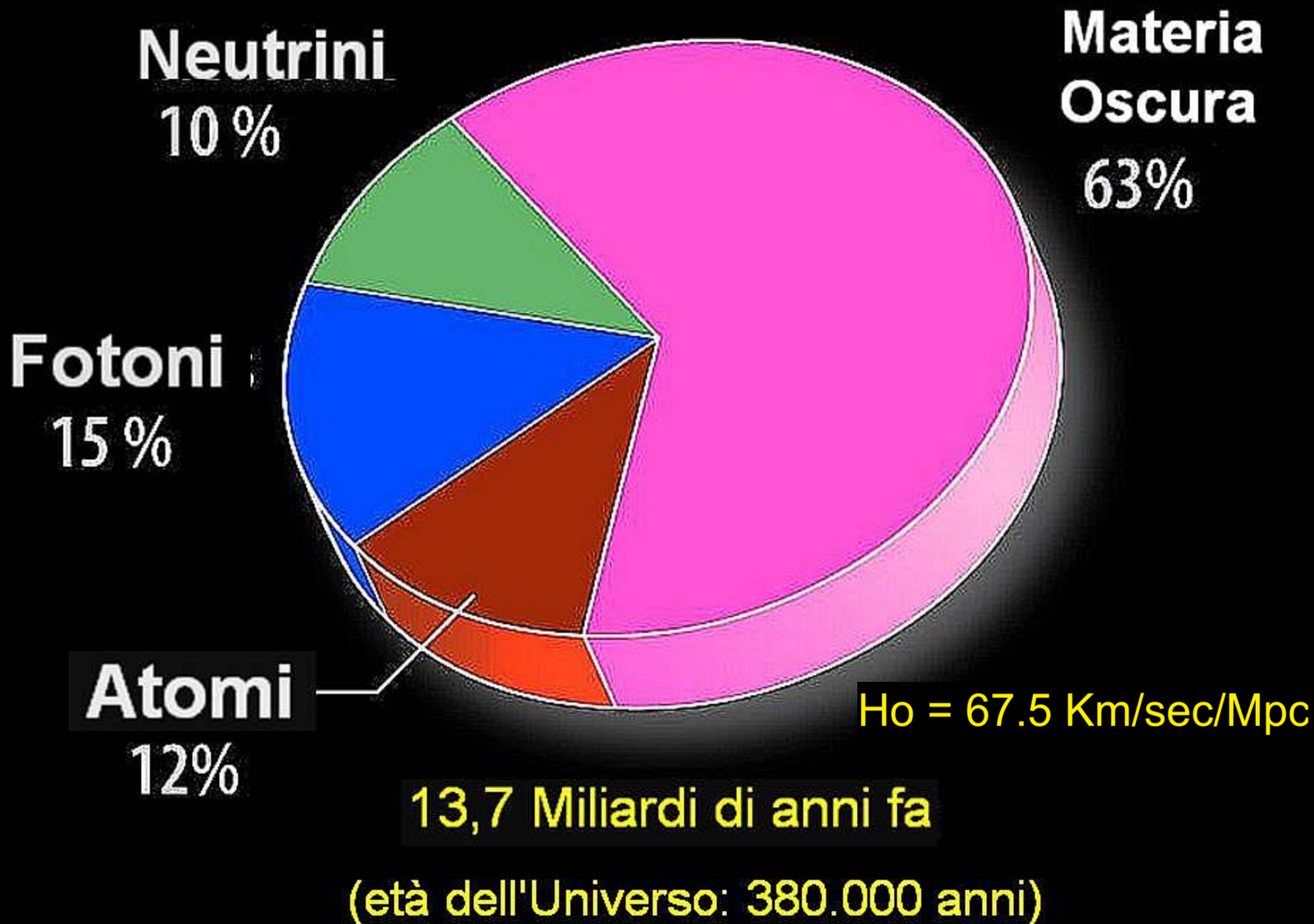
**LE GALASSIE SI ALLONTANANO
RECIPROCAMENTE AD UNA
VELOCITA' PROPORZIONALE ALLA
LORO DISTANZA**

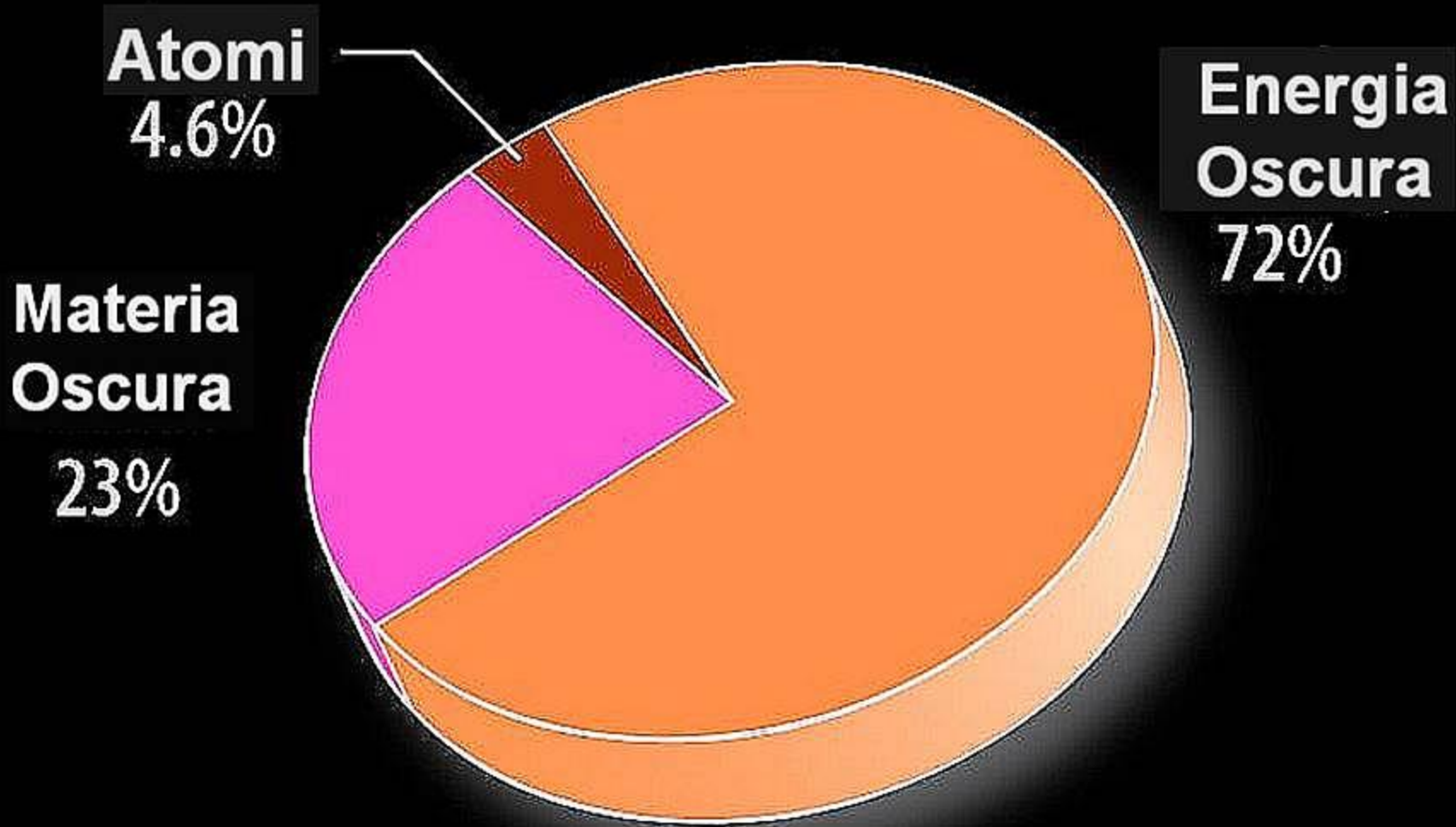
LEGGE DI HUBBLE
 $v = H_0 D$

COSTANTE DI HUBBLE
 $H_0 = 71 \text{ (Km/s)/Mpc}$

Tensione di Hubble







Oggi

$H_0 = 73 \text{ Km/sec/Mpc}$

Tensione di Hubble

$$H_0 = 67.5 + 0.404 \cdot t \quad \text{Km/sec/Mpc}$$

t = età dell'Universo (Gy)



Grazie per
l'attenzione!